

## ПРОСТРАНСТВЕННОЕ РАСПРЕДЕЛЕНИЕ ПЛОТНОСТИ НОСИТЕЛЕЙ ЗАРЯДА ПРИ ДРЕЙФЕ В СТЕКЛООБРАЗНОМ $As_2Se_3$

Архипов В. И., Казакова Л. П., Лебедев Э. А., Руденко А. И.

Представлены результаты экспериментального исследования формы пакета дырок, дрейфующих в стеклообразном  $As_2Se_3$ . Установлено, что время  $t_m$ , соответствующее максимуму плотности делокализованных носителей на тыловом электроде, совпадает с временем пролета пакета через образец  $t_T$ . Проведенный теоретический анализ показывает, что в режиме дисперсионного переноса отношение  $t_m/t_T$  всегда меньше единицы. Полученные результаты можно рассматривать как свидетельство в пользу того, что в стеклообразном  $As_2Se_3$  при комнатной температуре имеет место перенос дырок, близкий по своим характеристикам к нормальному (равновесному).

Важной особенностью переноса в веществах с неупорядоченной структурой является сильное пространственное размытие пакета носителей заряда. Используемая ранее методика измерения дрейфовой подвижности была недостаточно информативной с точки зрения изучения пространственного распределения носителей заряда, и оно оставалось вне поля зрения исследователей.

В работах [1, 2] предложен новый способ определения временной зависимости плотности делокализованных носителей заряда  $P_c(L, t)$ , прошедших через образец толщиной  $L$ . Использование этой методики позволяет получить достоверные данные о профиле пакета носителей заряда, дрейфующих в электрическом поле. В настоящей работе проведены расчет пространственного распределения плотности носителей заряда в режиме дисперсионного транспорта и его экспериментальное исследование с целью определения характеристик дисперсии пакета носителей. Объектом исследования выбран стеклообразный  $As_2Se_3$ , характеристики переноса в котором использовались как типичный пример проявления аномального дисперсионного переноса [3-6]. Однако данные о дисперсионных параметрах переноса в этом материале были противоречивы.

Основным дисперсионным параметром является коэффициент  $\alpha$  ( $0 \leq \alpha \leq 1$ ). Дисперсия пакета возрастает с уменьшением  $\alpha$ . Переходу к нормальному гауссовскому переносу соответствует случай  $\alpha=1$ . В ряде работ, выполненных на  $As_2Se_3$ , получено значение для  $\alpha \approx 0.5$  [3, 4, 7], в других же показано, что  $\alpha$  близок к единице [5, 6].

В настоящей работе дисперсионный перенос неравновесных дырок анализируется на основе модели многократного захвата носителей на распределенные по энергии локализованные состояния [8]. В рамках этой модели предполагается, что двигаться под действием электрического поля и поддерживать ток могут только носители, находящиеся в делокализованных состояниях. Движение носителя прерывается захватом на локализованные состояния и возобновляется благодаря термической делокализации. Важно отметить, что вследствие высокой плотности локализованных состояний в каждый фиксированный момент времени  $t$  подавляющее большинство носителей находится на локализованных состояниях и именно локализованные носители дают определяющий вклад в полную плотность заряда. Широкий энергетический спектр локализованных состояний приводит к тому, что время установления термически равновесного энергетического распределения захваченных носителей оказывается достаточно

большим. В результате на длительном временном интервале перенос происходит в неравновесном (дисперсионном) режиме.

Математическая формулировка модели многократного захвата включает уравнение, описывающее кинетику локализации и делокализации носителей,

$$\partial \rho(x, t, \epsilon) / \partial t = c(\epsilon) g(\epsilon) P_c(x, t) - c(\epsilon) N_c \exp(-\epsilon/kT) \rho(x, t, \epsilon), \quad (1)$$

уравнение непрерывности

$$\partial P(x, t) / \partial t + \mu_c E \partial P_c(x, t) / \partial x = 0, \quad (2)$$

а также уравнение баланса плотности носителей

$$P(x, t) = P_c(x, t) + \int_0^{\infty} d\epsilon \rho(x, t, \epsilon), \quad (3)$$

где  $x$  — координата,  $t$  — время,  $P$  — полная плотность носителей,  $P_c$  — плотность делокализованных носителей,  $\epsilon$  — энергия локализованного состояния,  $g(\epsilon) d\epsilon$  — плотность локализованных состояний с энергиями от  $\epsilon$  до  $\epsilon + d\epsilon$ ,  $\rho d\epsilon$  — плотность носителей, захваченных на эти состояния,  $c(\epsilon)$  — величина, характеризующая вероятность захвата носителя на локализованное состояние с энергией  $\epsilon$ ,  $N_c$  — плотность делокализованных состояний,  $E$  — напряженность поля,  $\mu_c$  — подвижность делокализованных носителей,  $T$  — температура,  $k$  — постоянная Больцмана.

В условиях дисперсионного транспорта уравнения (1) и (3) дают следующую связь между плотностями  $P(x, t)$  и  $P_c(x, t)$ :

$$P_c(x, t) = (\partial / \partial t) [\tau(t) P(x, t)], \quad (4)$$

где функция  $\tau(t)$  — «переменное время жизни» делокализованных носителей до захвата на «глубокие» локализованные состояния, лежащие ниже демаркационного энергетического уровня  $\epsilon_*(t)$ , определяется формулами

$$\tau(t) = \left\{ \int_{\epsilon_*(t)}^{\infty} d\epsilon c(\epsilon) g(\epsilon) \right\}^{-1}, \quad (5)$$

$$c[\epsilon_*(t)] N_c \exp[-\epsilon_*(t)/kT] = 1/t. \quad (6)$$

Подставляя соотношение (4) в уравнение непрерывности (2) и выполняя интегрирование по времени, получим уравнение переноса в режиме дисперсионного транспорта

$$P(x, t) + \mu_c E \tau(t) \partial P(x, t) / \partial x = P_0(x), \quad (7)$$

где  $P_0(x)$  — начальное распределение плотности носителей.

Решение уравнения (7) с начальным распределением  $P_0(x) = \sigma \delta(x)$ , соответствующим условиям эксперимента по измерению времени пролета, дает

$$P(x, t) = [\tau / \mu_c E \tau(t)] \exp[-x / \mu_c E \tau(t)]. \quad (8)$$

Использование соотношения (8) в формуле (4) позволяет найти плотность делокализованных носителей заряда

$$P_c(x, t) = [\tau / \mu_c E \tau(t)] [d\tau(t) / dt] [x / \mu_c E \tau(t)] \exp[-x / \mu_c E \tau(t)]. \quad (9)$$

При экспоненциальном распределении  $g(\epsilon) = (N_c / \epsilon_0) \exp(-\epsilon / \epsilon_0)$  и  $c(\epsilon) = v_0 / N_c \approx \text{const}$  функция  $\tau(t)$  имеет вид  $\tau(t) = \tau_0 (v_0 t)^\alpha$ , где  $v_0$  — частота попыток освобождения,  $\tau_0$  — время жизни носителя в делокализованном состоянии,  $\alpha = kT / \epsilon_0$  — дисперсионный параметр.

Для этого случая пространственное распределение полной плотности  $P(x, t)$  и плотности свободных носителей заряда  $P_c(x, t)$  при  $\alpha = 0.5$  для нескольких последовательных моментов времени приведено на рис. 1.

Важно подчеркнуть, что в режиме дисперсионного переноса полная плотность носителей  $P(x, t)$  является монотонно убывающей функцией координаты,

максимум которой «закреплен» в точке  $x=0$ . Напротив, плотность делокализованных носителей имеет максимум в точке  $x=x_m(t)$ , движущейся по закону

$$x_m(t) = \mu_c E \tau (t). \quad (10)$$

Используя формулу (9), получим временную зависимость плотности делокализованных носителей на границе образца  $L$

$$P_c(L, t) = (\tau \mu_c E \tau_0) (\nu_0 \tau_0) (L / \mu_c E \tau_0) (\nu_0 t)^{-1-\alpha} \exp[-(L / \mu_c E \tau_0) (\nu_0 t)^{-\alpha}]. \quad (11)$$

Вид зависимости  $P_c(L, t)$  при значении  $\alpha=0.5$  представлен на рис. 2, а. Характерной особенностью этой зависимости является наличие максимума в момент  $t=t_m$

$$t_m = (1/\nu_0) [1 + (1/\alpha)]^{-1/\alpha} (L / \mu_c E \tau_0)^{1/\alpha}. \quad (12)$$

В рамках традиционной времяпролетной методики основной экспериментально определяемой характеристикой является переходный ток  $j(t)$ , протекаю-

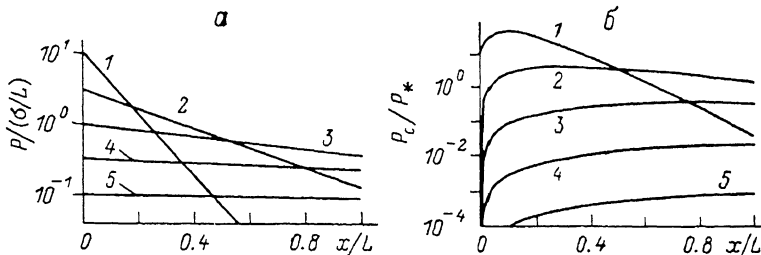


Рис. 1. Пространственное распределение полной плотности (а) и плотности делокализованных (б) носителей заряда при  $\alpha=0.5$  в разные моменты времени.

$t/T_T$ : 1 —  $10^{-2}$ , 2 —  $10^{-1}$ , 3 —  $10^0$ , 4 —  $10^1$ , 5 —  $10^2$ .  $t_T = \nu_0^{-1} (L / \mu_c E \tau_0)^{1/\alpha}$  — время пролета носителей заряда через образец.  $P_* = (\sigma/L) (\mu_c E \tau_0 / 2L) (\nu_0 \tau_0)$  — нормировочная константа.

щий через образец. Этот ток связан с плотностью делокализованных носителей следующей формулой (см., например, [8]):

$$j(t) = (e \mu_c E / L) \int_0^L dx P_c(x, t). \quad (13)$$

Экспериментально время пролета носителей заряда через образец определяется как момент резкого увеличения скорости спада тока. Как показано в [8], для случая экспоненциального распределения  $g(\epsilon)$   $t_T$  определяется формулой

$$t_T = (1/\nu_0) (L / \sqrt{2} \mu_c E \tau_0)^{1/\alpha}. \quad (14)$$

На рис. 2, б представлена вычисленная по формуле (8) для случая экспоненциального распределения  $g(\epsilon)$  при  $\alpha=0.5$  зависимость от времени полной плотности носителей заряда на границе образца  $P(L, t)$ . Как видно из рисунка, время пролета  $t_T$  соответствует максимуму функции  $P(L, t)$ .

Новая методика экспериментального изучения характеристик дрейфующего пакета основана на измерении переходного тока  $j(t)$  в двухслойной структуре, состоящей из исследуемого образца толщиной  $L$  и полупроводника, имеющего значительно более высокое значение подвижности [1, 2]. В этом случае переходный ток уже не определяется формулой (13), величина тока  $j(t)$  прямо пропорциональна  $P_c(L, t)$ . Таким образом,  $j(t)$  уже не является монотонно спадающей функцией, а также, как  $P_c(L, t)$ , имеет максимум при  $t=t_m$ . Как следует из (12), (14), отношение  $t_m/t_T$  следующим образом зависит от дисперсионного параметра  $\alpha$ :

$$t_m/t_T = [(1/\sqrt{2}) + (1/\alpha \sqrt{2})]^{-1/\alpha}, \quad (15)$$

причем величина этого отношения оказывается меньше единицы при любых возможных значениях  $\alpha$ .

На рис. 2, а иллюстрируется соотношение времен  $t_m$  и  $t_T$  в случае  $\alpha=0.5$ . Кроме того, отмечено время  $t=t_*$ , соответствующее выходу из образца (толщиной  $L$ ) максимума плотности свободных носителей заряда  $P_c(x, t)$ . Выражение для времени  $t_*$  можно получить из формулы (10) при  $x_m(t)=L$ :

$$t_* = (1/v_0) (L/v_0 E \tau_0)^{1/\alpha}. \quad (16)$$

Таким образом, проведенное рассмотрение позволило установить, что в условиях дисперсионного переноса между характерными временами, связанными с максимумами функций распределения плотностей носителей заряда  $P_c(L, t)$ ,  $P(L, t)$  и  $P_c(x, t)$ , выполняется следующее соотношение:  $t_m < t_T < t_*$ . Отметим, что, согласно формулам (12), (14), (16), разница в значениях характерных времен тем больше, чем меньше  $\alpha$ .

На рис. 3 представлены результаты экспериментального исследования переходного фототока в слое  $As_2Se_3$  (рис. 3, а) и в двухслойных структурах  $As_2Se_3-Se$  (рис. 3, б) и  $As_2Se_3-As_2Se_3X_{0.025}$  (рис. 3, в). Отметим, что подвижность дырок

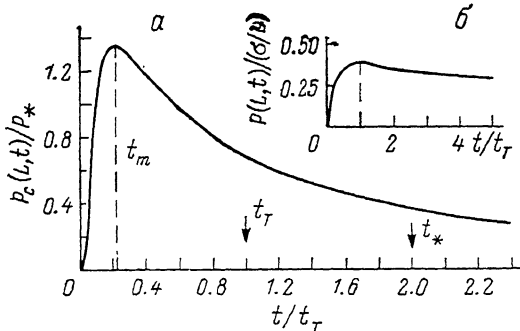


Рис. 2. Зависимость плотности делокализованных (а) и полной плотности (б) носителей заряда, прошедших образец, от времени ( $\alpha=0.5$ ).

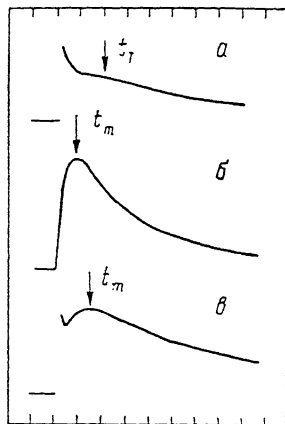


Рис. 3. Осциллограммы импульсов фототока в слое  $As_2Se_3$  (0.5 мкм) (а), двухслойных структурах  $As_2Se_3-Se$  (1 мкм)— $Se$  (7.5 мкм) (б) и  $As_2Se_3(0.5 \text{ мкм})-As_2Se_3X_{0.025}$  (2.6 мкм) (в).

$E=1 \cdot 10^5$  В/см. Длительность развертки, мкс/дел: а — 5, б — 50, в — 10.

в легированном примесью X стеклообразном  $As_2Se_3$  превышает подвижность дырок в  $As_2Se_3$  в 50 раз, а в  $Se$  подвижность дырок выше, чем в  $As_2Se_3$ , в  $10^4$  раз. На структурах  $As_2Se_3-Se$   $t_m$  зависело от времени задержки между моментами приложения напряжения и подачи импульса света, создающего пакет неравновесных носителей заряда. Величина  $t_m$  увеличивалась приблизительно в 2 раза при увеличении времени задержки от одной до нескольких десятков секунд. Такое поведение фототока, по-видимому, связано с развивающимися во времени поляризационными эффектами в двухслойной структуре, так как слои характеризуются разными сопротивлениями и величинами ширины запрещенной зоны.

В структурах  $As_2Se_3-As_2Se_3X_{0.025}$  значение  $t_m$  не зависело от времени задержки. По величине сопротивления и ширине запрещенной зоны материалы  $As_2Se_3$  и  $As_2Se_3X_{0.025}$  аналогичны, следовательно, поле в структуре распределяется равномерно. Сравнение результатов, полученных на слое  $As_2Se_3$  и двухслойной структуре  $As_2Se_3-As_2Se_3X_{0.025}$ , показало, что величина  $t_m/t_T \approx 1$ . Такое же значение  $t_m/t_T$  установлено в структурах  $As_2Se_3-Se$  при определении  $t_m$  при малых временах задержки.

Для дисперсионного переноса, характеризуемого параметром  $\alpha=0.5$ , отношение  $t_m/t_T$  должно иметь значение, близкое к 0.22. Полученные нами данные свидетельствуют о том, что пространственное распределение пакета дырок

в  $\text{As}_2\text{Se}_3$  не соответствует характеристикам дисперсионного переноса. Сделанный вывод не противоречит экспериментальным данным работы [7], в которой при исследовании переноса в стеклообразном  $\text{As}_2\text{Se}_3$  использовались двухслойные структуры  $\text{As}_2\text{Se}_3$ —Se. Судя по полученным в этой работе данным, отношение  $t_m/t_r=2-4$ . Однако оценка дисперсионного параметра  $\alpha$  в ней производилась фактически по зависимости времени пролета от напряженности электрического поля, и в результате было получено значение  $\alpha \approx 0.43$ . В работе [9] показано, что такой способ оценки может оказаться неточным и привести к заниженному значению  $\alpha$ .

На близости характера переноса к нормальному в стеклообразном  $\text{As}_2\text{Se}_3$  указывает установленная в работе [9] слабая зависимость дрейфовой подвижности от толщины образцов и неуниверсальная зависимость времени пролета от отношения  $L/E$ . Наблюдаемое в  $\text{As}_2\text{Se}_3$  сильное пространственное размытие пакета носителей заряда может быть связано с распределением носителей заряда по подвижности, обусловленным, например, наличием неоднородностей [9, 10].

Таким образом, в настоящей работе развиты теоретические представления о пространственном распределении носителей заряда при дисперсионном переносе. Установлено соотношение между временем пролета и временами, соответствующими максимуму полной плотности и плотности свободных носителей заряда на границе образца. Заметим, что характеристики дрейфующего пакета носителей в режиме дисперсионного переноса были проанализированы выше для случая экспоненциального энергетического распределения локализованных состояний, причем сечение захвата носителей предполагалось не зависящим от энергии. Однако все основные особенности динамики пакета и его форма в условиях дисперсионного переноса сохраняются при переходе от экспоненциального к любому другому достаточно широкому энергетическому спектру ловушек («прямоугольному» [8], гауссовскому [11] и т. д.), а также при учете возможной зависимости сечения захвата от энергии ловушки. При экспоненциальной зависимости такой учет приводит лишь к перенормировке энергетической глубины  $\epsilon_0$  и температуры  $T$  [8, 12]. Так, если энергетическая зависимость сечения захвата описывается экспонентой  $c(\epsilon) \sim \exp(-\epsilon/\epsilon'_0)$ , затухающей с ростом  $\epsilon$  быстрее, чем плотность ловушек  $g(\epsilon)$ , то температурная зависимость дисперсионного параметра  $\alpha$  будет определяться уже глубиной распределения  $c(\epsilon)$ :  $(1/\alpha) = (kT/\epsilon'_0) + 1$ , ( $\alpha < 1$ ) [12]. Поэтому сделанный выше вывод об отличии экспериментально наблюдаемой кинетики пакета носителей от той, которая характерна для дисперсионного переноса, не ограничивается только случаем экспоненциального энергетического спектра ловушек, а носит более общий характер и указывает на то, что в  $\text{As}_2\text{Se}_3$  при комнатной температуре в ограниченном интервале времени эксперимента осуществляется перенос дырок, близкий к нормальному (равновесному). Сделанный вывод находится в согласии с данными ряда работ, выполненных на  $\text{As}_2\text{Se}_3$  с помощью обычной методики определения времени пролета [5, 6, 9, 11].

#### Л и т е р а т у р а

- [1] Лебедев Э. А., Карпова Л. Н. — ФТП, 1981, т. 15, в. 12, с. 2421—2423.
- [2] Лебедев Э. А., Карпова Л. Н. — А. с., № 1044198. БИ, № 8, 1984, с. 220.
- [3] Plister G., Scher H. — Phys. Rev. B, 1977, v. 15, N 4, p. 2062—2083.
- [4] Orenstein J., Kastner M. A., Vaninov V. — Phil. Mag. B, 1982, v. 46, N 1, p. 23—62.
- [5] Коломиец Б. Т., Лебедев Э. А., Казакова Л. П. — ФТП, 1978, т. 12, в. 9, с. 1771—1776.
- [6] Marshall J. M. — Rep. Progr. Phys., 1983, v. 46, N 10, p. 1235—1282.
- [7] Imamura S., Kitamura T., Minato T., Nakamura N. — J. Non-Cryst. Sol., 1985, v. 77/78, p. 1249—1252.
- [8] Rudenko A. I., Arkhipov V. I. — Phil. Mag. B, 1982, v. 45, N 62, p. 189—226.
- [9] Казакова Л. П., Коломиец Б. Т., Лебедев Э. А., Таурайтене С. А. — ФТП, 1987, т. 21, в. 2, с. 274—278.
- [10] Архипов В. И., Лебедев Э. А., Руденко А. И. — ФТП, 1981, т. 15, в. 4, с. 712—717.
- [11] Архипов В. И., Казакова Л. П., Лебедев Э. А., Руденко А. И. — ФТП, 1987, т. 21, в. 4, с. 724—727.
- [12] Барановский С. Д., Карпов В. Г. — ФТП, 1985, т. 19, в. 3, с. 541—543.